



Méthodes numériques et simulation de condensats de Bose-Einstein

Guillaume Vergez

Directeur :

Ionut Danaila

Laboratoire de Mathématiques
Raphaël Salem, Rouen

Co-directeur :

Frédéric Hecht

Laboratoire Jacques-Louis Lions
Université Pierre et Marie Curie

Introduction

- Théorie : 1925, Einstein.
⇒ Gaz de particules refroidi (quelques nanokelvins), condensation d'une partie macroscopique du gaz, état de plus faible énergie, oscillation selon la même fonction d'onde ψ .

Introduction

- Théorie : 1925, Einstein.
⇒ Gaz de particules refroidi (quelques nanokelvins), condensation d'une partie macroscopique du gaz, état de plus faible énergie, oscillation selon la même fonction d'onde ψ .
- Expériences :
 - ① 1995, E. A. Cornell, W. Ketterle et Carl E. Wieman.
⇒ Prix Nobel de 2001.

Introduction

- Théorie : 1925, Einstein.
⇒ Gaz de particules refroidi (quelques nanokelvins), condensation d'une partie macroscopique du gaz, état de plus faible énergie, oscillation selon la même fonction d'onde ψ .
- Expériences :
 - ① 1995, E. A. Cornell, W. Ketterle et Carl E. Wieman.
⇒ Prix Nobel de 2001.
 - ② 1999, C. Raman et ses collaborateurs.
⇒ existence de courants permanents dans le condensat.

Introduction

- Théorie : 1925, Einstein.
⇒ Gaz de particules refroidi (quelques nanokelvins), condensation d'une partie macroscopique du gaz, état de plus faible énergie, oscillation selon la même fonction d'onde ψ .
- Expériences :
 - 1 1995, E. A. Cornell, W. Ketterle et Carl E. Wieman.
⇒ Prix Nobel de 2001.
 - 2 1999, C. Raman et ses collaborateurs.
⇒ existence de courants permanents dans le condensat.
 - 3 2000, K. W. Madison et 2001, J. R. Abo-Shaeer.
⇒ apparition de vortex quantiques dans le condensat en rotation.

Introduction

- Théorie : 1925, Einstein.
⇒ Gaz de particules refroidi (quelques nanokelvins), condensation d'une partie macroscopique du gaz, état de plus faible énergie, oscillation selon la même fonction d'onde ψ .
- Expériences :
 - 1 1995, E. A. Cornell, W. Ketterle et Carl E. Wieman.
⇒ Prix Nobel de 2001.
 - 2 1999, C. Raman et ses collaborateurs.
⇒ existence de courants permanents dans le condensat.
 - 3 2000, K. W. Madison et 2001, J. R. Abo-Shaeer.
⇒ apparition de vortex quantiques dans le condensat en rotation.
 - 4 En cours, Groupe Atoms Froids du laboratoire Kastler-Brossel (LKB) de l'Ecole Normale Supérieure.

Introduction

- Théorie : 1925, Einstein.
⇒ Gaz de particules refroidi (quelques nanokelvins), condensation d'une partie macroscopique du gaz, état de plus faible énergie, oscillation selon la même fonction d'onde ψ .
- Expériences :
 - ① 1995, E. A. Cornell, W. Ketterle et Carl E. Wieman.
⇒ Prix Nobel de 2001.
 - ② 1999, C. Raman et ses collaborateurs.
⇒ existence de courants permanents dans le condensat.
 - ③ 2000, K. W. Madison et 2001, J. R. Abo-Shaeer.
⇒ apparition de vortex quantiques dans le condensat en rotation.
 - ④ En cours, Groupe Atoms Froids du laboratoire Kastler-Brossel (LKB) de l'Ecole Normale Supérieure.
- Modélisation numérique : Projet BECASIM.
Mise en rotation selon l'axe des z du condensat de Bose-Einstein (BEC).

Plan

- 1 Energie de Gross-Pitaevskii (GP) et equation de GP stationnaire
- 2 Différentes méthodes
 - La méthode de gradient de Sobolev (GS)
 - Adaptation de maillage
 - Utilisation de l_{popt}
- 3 Cas tests de comparaison
- 4 Construction d'approximations de départ
 - l_{popt} axisymétrique sans vortex ($\Omega = 0$)
 - l_{popt} axisymétrique avec vortex ($\Omega \neq 0$)
- 5 Quelques résultats en 3D

Outline

- 1 Energie de Gross-Pitaevskii (GP) et equation de GP stationnaire
- 2 Différentes méthodes
 - La méthode de gradient de Sobolev (GS)
 - Adaptation de maillage
 - Utilisation de lpopt
- 3 Cas tests de comparaison
- 4 Construction d'approximations de départ
 - lpopt axisymétrique sans vortex ($\Omega = 0$)
 - lpopt axisymétrique avec vortex ($\Omega \neq 0$)
- 5 Quelques résultats en 3D

Soit $\mathcal{D} \subset \mathbb{R}^3$ un domaine ouvert, borné.

La fonction d'onde du BEC est le minimiseur u dans $H^1(\mathcal{D}, \mathbb{C})$ de l'énergie de Gross-Pitaevskii :

$$E(u) = \int_{\mathcal{D}} \left[\frac{1}{2} |\nabla u|^2 + V_{trap} |u|^2 + \frac{1}{2} C_g |u|^4 \right] - C_{\Omega} L_z, \quad (1)$$

où C_{Ω} et C_g sont des constantes qui dépendent du nombre de particules, de la longueur de diffusion et de la vitesse de rotation,

$$V_{trap} = \frac{1}{2} (a_x x^2 + a_y y^2 + a_z z^2) \text{ (potentiel de piégeage harmonique)}$$

$$\text{ou } V_{trap} = \frac{1}{2} (a_x x^2 + a_y y^2 + a_z z^2 + a_4 r^4) \text{ (potentiel quartique/quadratique)}$$

et

$$L_z = - \int_{\mathcal{D}} \mathcal{I}m \left[\bar{u} \left(y \frac{\partial u}{\partial x} - x \frac{\partial u}{\partial y} \right) \right] = \int_{\mathcal{D}} \mathcal{R}e \left[i \bar{u} \left(y \frac{\partial u}{\partial x} - x \frac{\partial u}{\partial y} \right) \right]. \quad (2)$$

La fonction d'onde u est normalisée et la conservation du nombre d'atomes s'écrit :

$$\int_{\mathcal{D}} |u|^2 = 1. \quad (3)$$

Ceci revient à résoudre l'équation de GP stationnaire

$$-\frac{1}{2}\Delta u + V_{trap}u + C_g|u|^2u - iC_\Omega(A^T\nabla)u = \mu u, \quad (4)$$

où

$$A = \begin{pmatrix} y \\ -x \\ 0 \end{pmatrix} \quad (5)$$

et μ est le potentiel chimique (un multiplicateur de Lagrange). (6)

Outline

- 1 Energie de Gross-Pitaevskii (GP) et equation de GP stationnaire
- 2 Différentes méthodes
 - La méthode de gradient de Sobolev (GS)
 - Adaptation de maillage
 - Utilisation de lpopt
- 3 Cas tests de comparaison
- 4 Construction d'approximations de départ
 - lpopt axisymétrique sans vortex ($\Omega = 0$)
 - lpopt axisymétrique avec vortex ($\Omega \neq 0$)
- 5 Quelques résultats en 3D

① Méthodes existantes sous FreeFem++

- Méthode de Gradient de Sobolev en éléments finies.

① Méthodes existantes sous FreeFem++

- Méthode de Gradient de Sobolev en éléments finies.
- Adaptation du maillage.

① Méthodes existantes sous FreeFem++

- Méthode de Gradient de Sobolev en éléments finies.
- Adaptation du maillage.
- Utilisation de Ipopt.

① Méthodes existantes sous FreeFem++

- Méthode de Gradient de Sobolev en éléments finies.
- Adaptation du maillage.
- Utilisation de Ipopt.
- Méthode de propagation en temps imaginaire, schéma hybride Runge-Kutta/ Crank-Nicolson.

① Méthodes existantes sous FreeFem++

- Méthode de Gradient de Sobolev en éléments finies.
- Adaptation du maillage.
- Utilisation de Ipopt.
- Méthode de propagation en temps imaginaire, schéma hybride Runge-Kutta/ Crank-Nicolson.

① Méthodes existantes sous FreeFem++

- Méthode de Gradient de Sobolev en éléments finies.
- Adaptation du maillage.
- Utilisation de Ipopt.
- Méthode de propagation en temps imaginaire, schéma hybride Runge-Kutta/ Crank-Nicolson.

② Méthodes en cours de développement sous FreeFem++

- Méthode de Gradient de Sobolev avec discrétisation spectrale en espace.

① Méthodes existantes sous FreeFem++

- Méthode de Gradient de Sobolev en éléments finies.
- Adaptation du maillage.
- Utilisation de Ipopt.
- Méthode de propagation en temps imaginaire, schéma hybride Runge-Kutta/ Crank-Nicolson.

② Méthodes en cours de développement sous FreeFem++

- Méthode de Gradient de Sobolev avec discrétisation spectrale en espace.
- Méthode de Newton pénalisée.

La méthode de gradient de Sobolev (GS)

- Méthode de minimisation directe de l'énergie :

$$u_{n+1} = u_n + \rho \mathcal{G}_n, \quad (7)$$

\mathcal{G}_n : Direction de descente ($D_{u_n} E. \mathcal{G}_n < 0$)

ρ : Pas de descente.

La méthode de gradient de Sobolev (GS)

- Méthode de minimisation directe de l'énergie :

$$u_{n+1} = u_n + \rho \mathcal{G}_n, \quad (7)$$

\mathcal{G}_n : Direction de descente ($D_{u_n} E \cdot \mathcal{G}_n < 0$)

ρ : Pas de descente.

- Méthode de gradient de Sobolev $\implies \mathcal{G}_n = -\nabla E(u_n)$.

La méthode de gradient de Sobolev (GS)

- Méthode de minimisation directe de l'énergie :

$$u_{n+1} = u_n + \rho \mathcal{G}_n, \quad (7)$$

\mathcal{G}_n : Direction de descente ($D_{u_n} E \cdot \mathcal{G}_n < 0$)

ρ : Pas de descente.

- Méthode de gradient de Sobolev $\implies \mathcal{G}_n = -\nabla E(u_n)$.
- Plusieurs manières de définir ce gradient, selon l'espace de Hilbert dans lequel on travaille et le produit scalaire que l'on considère.

La méthode de gradient de Sobolev (GS)

- Méthode de minimisation directe de l'énergie :

$$u_{n+1} = u_n + \rho \mathcal{G}_n, \quad (7)$$

\mathcal{G}_n : Direction de descente ($D_{u_n} E \cdot \mathcal{G}_n < 0$)

ρ : Pas de descente.

- Méthode de gradient de Sobolev $\implies \mathcal{G}_n = -\nabla E(u_n)$.
- Plusieurs manières de définir ce gradient, selon l'espace de Hilbert dans lequel on travaille et le produit scalaire que l'on considère.
- I. Danaila et P.Kazemi \implies nouveau produit scalaire sur $H^1(\mathcal{D}, \mathbb{C})$:

$$\langle u, v \rangle_{H_A} = \int_{\mathcal{D}} uv + \underbrace{(\nabla u + i\Omega A^T u)}_{\nabla_{H_A} u} \cdot (\nabla v + i\Omega A^T v).$$

La méthode de gradient de Sobolev (GS)

- Méthode de minimisation directe de l'énergie :

$$u_{n+1} = u_n + \rho \mathcal{G}_n, \quad (7)$$

\mathcal{G}_n : Direction de descente ($D_{u_n} E \cdot \mathcal{G}_n < 0$)

ρ : Pas de descente.

- Méthode de gradient de Sobolev $\implies \mathcal{G}_n = -\nabla E(u_n)$.
- Plusieurs manières de définir ce gradient, selon l'espace de Hilbert dans lequel on travaille et le produit scalaire que l'on considère.
- I. Danaila et P.Kazemi \implies nouveau produit scalaire sur $H^1(\mathcal{D}, \mathbb{C})$:

$$\langle u, v \rangle_{H_A} = \int_{\mathcal{D}} uv + \underbrace{(\nabla u + i\Omega A^T u)}_{\nabla_{H_A} u} \cdot (\nabla v + i\Omega A^T v).$$

- Possibilité d'adaptation du pas de temps ρ .

La méthode de gradient de Sobolev (GS)

- Méthode de minimisation directe de l'énergie :

$$u_{n+1} = u_n + \rho \mathcal{G}_n, \quad (7)$$

\mathcal{G}_n : Direction de descente ($D_{u_n} E \cdot \mathcal{G}_n < 0$)

ρ : Pas de descente.

- Méthode de gradient de Sobolev $\implies \mathcal{G}_n = -\nabla E(u_n)$.
- Plusieurs manières de définir ce gradient, selon l'espace de Hilbert dans lequel on travaille et le produit scalaire que l'on considère.
- I. Danaila et P.Kazemi \implies nouveau produit scalaire sur $H^1(\mathcal{D}, \mathbb{C})$:

$$\langle u, v \rangle_{H_A} = \int_{\mathcal{D}} uv + \underbrace{(\nabla u + i\Omega A^T u) \cdot (\nabla v + i\Omega A^T v)}_{\nabla_{H_A} u}.$$

- Possibilité d'adaptation du pas de temps ρ .
- Autre produit scalaire possible :

$$\langle u, v \rangle_{H_\lambda} = \langle u, v \rangle_{L^2} + \lambda \langle u, v \rangle_{H^1}.$$

Adaptation de maillage

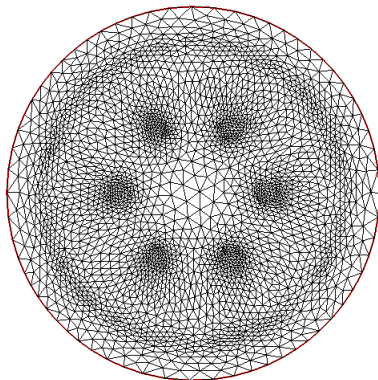
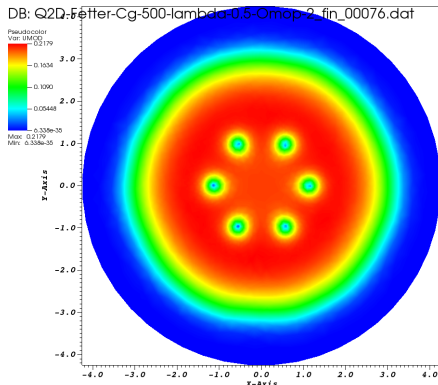


Figure: Solution renvoyée par gradient de Sobolev (à gauche), Maillage adapté (à droite)

Utilisation de Ipopt

- Optimiseur développé par Andreas Wächter at Carl Laird.
- Utilisation d'une méthode de points milieux (article de J. Nocedal et Waltz (2008) et thèse de Wächter (January 2002)).
- Sous FreeFem++, disponible dans la bibliothèque ff-Ipopt.

Utilisation de Ipopt

- Optimiseur développé par Andreas Wächter at Carl Laird.
- Utilisation d'une méthode de points milieux (article de J. Nocedal et Waltz (2008) et thèse de Wächter (January 2002)).
- Sous FreeFem++, disponible dans la bibliothèque ff-Ipopt.

Il a été conçu pour résoudre des problèmes de minimisation sous contrainte de la forme :

$$\text{trouver } x_0 = \underset{x \in \mathbb{R}^n}{\operatorname{argmin}}(f(x)) \quad (8)$$

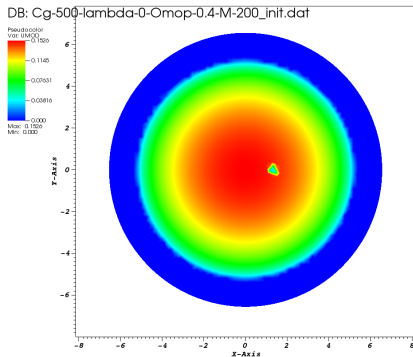
$$\text{tel que } \begin{cases} \forall i \leq n, x_i^{lb} \leq x_i \leq x_i^{ub} \text{ (bornes simples)} \\ \forall i \leq m, c_i^{lb} \leq c(x_i) \leq c_i^{ub} \text{ (fonctions de contraintes)} \end{cases} \quad (9)$$

- Arguments d'entrée :
 - ① La fonctionnelle à minimiser, son gradient et sa matrice hessienne.
 - ② La fonctionnelle définissant la contrainte, sa matrice Jacobienne et les bornes supérieures et inférieures.
 - ③ Une tolérance d'erreur pour approcher la solution.
- F.Hecht a écrit un programme sous FreeFem++ qui utilise Ipopt. On approche de plus en plus précisément la solution en diminuant progressivement la tolérance demandée, et on raffine le maillage à chaque fois qu'on atteint un nouveau seuil de tolérance.

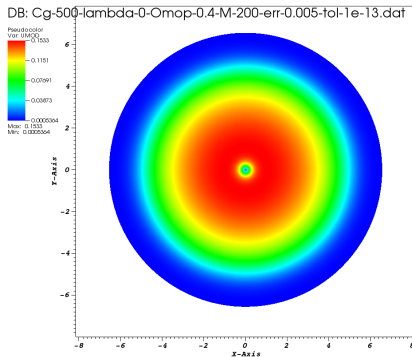
Outline

- 1 Energie de Gross-Pitaevskii (GP) et equation de GP stationnaire
- 2 Différentes méthodes
 - La méthode de gradient de Sobolev (GS)
 - Adaptation de maillage
 - Utilisation de lpopt
- 3 Cas tests de comparaison
- 4 Construction d'approximations de départ
 - lpopt axisymétrique sans vortex ($\Omega = 0$)
 - lpopt axisymétrique avec vortex ($\Omega \neq 0$)
- 5 Quelques résultats en 3D

Potentiel harmonique avec $a_x = a_y = 1$, $C_\Omega = 0.4$ et $C_g = 500$.



user: guillaume
Mon Jul 1 11:45:23 2013



user: guillaume
Mon Jul 1 11:45:03 2013

Figure: Profil de densité de la solution initiale à gauche et finale à droite.

Comparaison pour un potentiel harmonique

Méthode	Tol	Err	CPU	E	$E_{Ip} - E_{GA}$
Grad de Sob	1e-9	0.1	122.08s	8.36886	
Ipopt	0.001	0.1	74.51s	8.36249	-0.00548127
	1e-09	0.02	127.04s	8.36134	-0.00663453
	1e-13	0.005	180.29s	8.36092	-0.00705049

Potentiel quartique avec avec $a_x = a_y = 1$ et $a_4 = 0.5$,
 $C_\Omega = 2$ et $C_g = 500$.

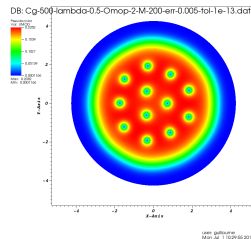
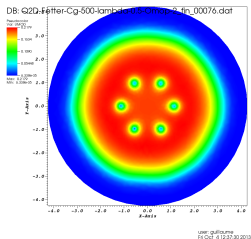
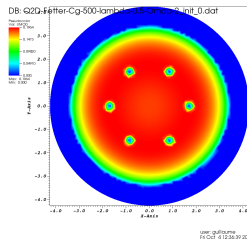


Figure: Approximation initiale (à gauche), Solution renvoyée par gradient de Sobolev (au centre), Solution renvoyée par lpopt (à droite)

Comparaison pour un potentiel quartique+quadratique

Méthode	Tol	Err	CPU	E	$E_{Ip} - E_{GA}$
Grad de Sob	1e-6	0.1	30.52s	11.8767	
Ipopt	0.001	0.1	14.11s	11.9505	0.0737989
	1e-05	0.1	76.71s	11.5873	-0.289404
	1e-12	0.01	2499.95s	11.0525	-0.824204

Outline

- 1 Energie de Gross-Pitaevskii (GP) et equation de GP stationnaire
- 2 Différentes méthodes
 - La méthode de gradient de Sobolev (GS)
 - Adaptation de maillage
 - Utilisation de Ipopt
- 3 Cas tests de comparaison
- 4 Construction d'approximations de départ
 - Ipopt axisymétrique sans vortex ($\Omega = 0$)
 - Ipopt axisymétrique avec vortex ($\Omega \neq 0$)
- 5 Quelques résultats en 3D

Ipopt axisymétrique sans vortex ($\Omega = 0$)

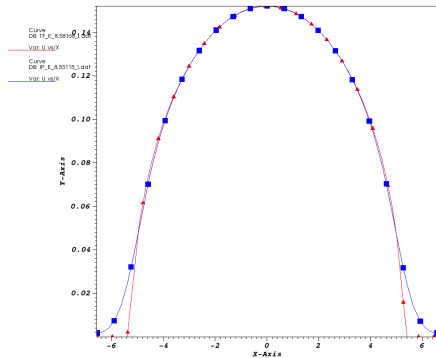
Plutôt que de faire une approximation de Thomas-Fermi pour la solution approchée initiale, une idée est de trouver une solution axisymétrique du problème avec Ipopt ($\frac{\partial u}{\partial \theta} = 0$). La fonctionnelle devient :

$$E(u) = \int_0^{R_{max}} 2\pi \left[\frac{1}{2} \left| \frac{\partial u}{\partial r} \right|^2 + C_{trap} |u|^2 + \frac{1}{2} C_g |u|^4 \right] r dr, \quad (10)$$

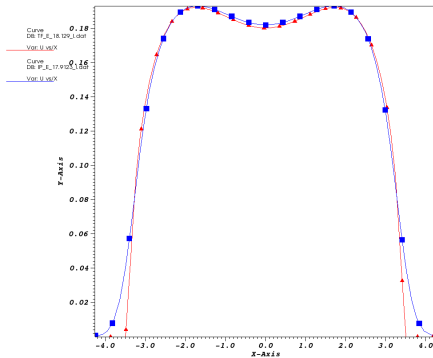
La contrainte devient :

$$C(u) = \int_0^{R_{max}} 2\pi |u|^2 r dr = 1. \quad (11)$$

Condition initiale \ Potentiel	Harmonique	Quartique
Thomas-Fermi	E = 8.58168	E = 18.129
Ipopt axisymétrique	E = 8.53115	E = 17.9123



user: guillaume
Wed Jul 24 16:50:48 2013



user: guillaume
Wed Jul 24 16:54:18 2013

Figure: Comparaison de Thomas-Fermi \blacktriangle et de Ipopt \blacksquare pour un potentiel harmonique (à gauche) et quartique+quadratique (à droite).

lpopt axisymétrique avec vortex ($\Omega \neq 0$)

- Cas test avec un potentiel harmonique et $a_x = a_y = 1$, $C_\Omega = 0.4$ et $C_g = 500$.
- m^{ieme} mode de Fourier de la solution selon la variable polaire θ .

$$u(r, \theta) = u(r)e^{im\theta}, \quad (12)$$

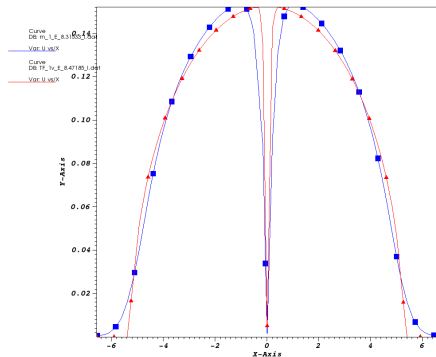
où m est un entier ($m = 1$ pour un vortex simple).

- On obtient alors en posant :

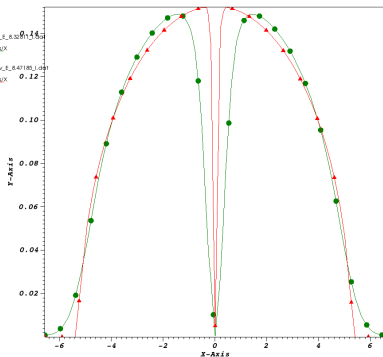
$$C_{eff} = C_{trap} + \left(\frac{m}{2r}\right)^2 - \Omega m, \quad (13)$$

$$E(u) = \int_0^{R_{max}} 2\pi \left[\frac{1}{2} \left| \frac{\partial u}{\partial r} \right|^2 + C_{eff} |u|^2 + \frac{1}{2} C_g |u|^4 \right] r dr, \quad (14)$$

	Thomas-Fermi	lpopt $m = 1$	lpopt $m = 2$
Energie	8.47195	8.31533	8.32811



user: guillaume
Wed Jul 24 18:42:11 2013



user: guillaume
Wed Jul 24 18:42:17 2013

Figure: Comparaison de Thomas-Fermi \blacktriangle et de l'popt avec $m = 1$ \blacksquare (à gauche), et de l'popt avec $m = 2$ \bullet (à droite) pour une solution axisymétrique avec vortex central.

- Utilisation possible pour une décomposition en modes de Fourier de la solution selon la variable θ

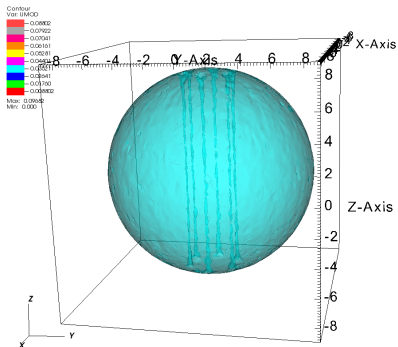
Outline

- 1 Energie de Gross-Pitaevskii (GP) et equation de GP stationnaire
- 2 Différentes méthodes
 - La méthode de gradient de Sobolev (GS)
 - Adaptation de maillage
 - Utilisation de Ipopt
- 3 Cas tests de comparaison
- 4 Construction d'approximations de départ
 - Ipopt axisymétrique sans vortex ($\Omega = 0$)
 - Ipopt axisymétrique avec vortex ($\Omega \neq 0$)
- 5 Quelques résultats en 3D

Méthode de Gradient de Sobolev en 3D.

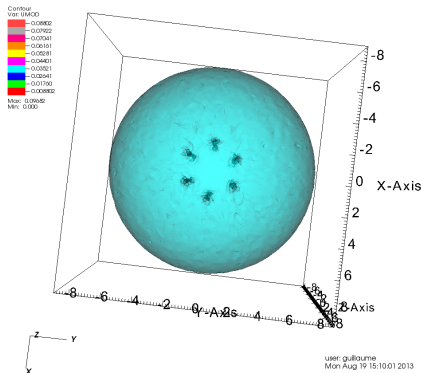
Test avec un potentiel harmonique $a_x = a_y = a_z = 1$, $C_g = 2500$, et $\Omega = 0.5$.

DB: Q3D-AR-Cg-2500-lambda-0-Omop-0.5_init_0.dat



user: guillaume
Mon Aug 19 15:09:08 2013

DB: Q3D-AR-Cg-2500-lambda-0-Omop-0.5_init_0.dat



user: guillaume
Mon Aug 19 15:10:01 2013

Figure: Condition initiale.

On converge en 1078 itérations et 36714.4s avec une erreur relative finale de $1e-7$ et 41080 segments dans le maillage.

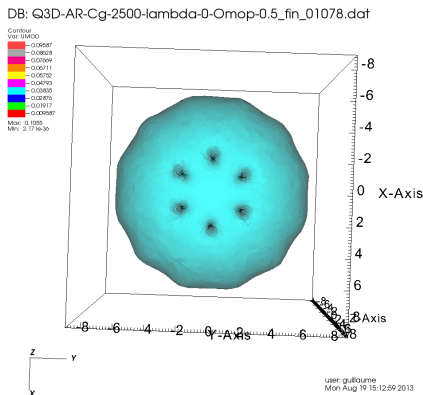
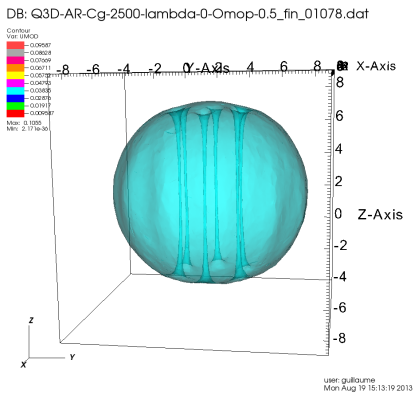
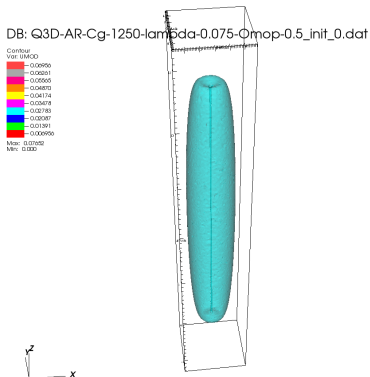


Figure: Solution finale.

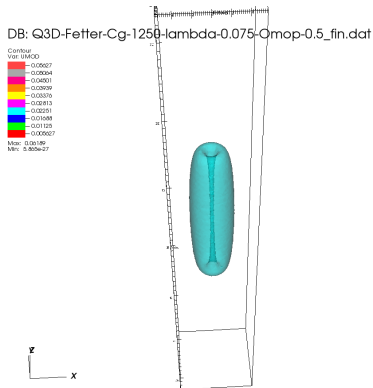
Ipoct en 3D.

Test avec un potentiel quartique-quadratique avec

$a_x = a_y = -0.2$, $a_z = 0.0204082$, $a_4 = 3.75$, $C_g = 1250$, et $\Omega = 0.5$. On converge en 42169.8 s pour une tolérance finale de $1e-9$ et 131975 segments dans le maillage.



user: guillaume
Mon Aug 19 15:33:26 2013



user: guillaume
Mon Aug 19 15:33:01 2013

Figure: Condition initiale à gauche et solution finale à droite.

Merci pour votre attention.